

Starkniederschlagshöhen und -spenden gemäß KOSTRA-DWD-2020

Rasterfeld 91113

(Zeile 91, Spalte 113)

Regenspende und Bemessungsniederschlagswerte in Abhängigkeit von Wiederkehrzeit T und Dauerstufe D

| Dauerstufe D | | Wiederkehrzeit T | | | | | | | | | | | | | | | | | |
|--------------|-----|------------------|------------|------|------------|------|------------|------|------------|-------|------------|-------|------------|-------|------------|-------|------------|-------|------------|
| | | 1 a | | 2 a | | 3 a | | 5 a | | 10 a | | 20 a | | 30 a | | 50 a | | 100 a | |
| min | Std | mm | l / (s ha) | mm | l / (s ha) | mm | l / (s ha) | mm | l / (s ha) | mm | l / (s ha) | mm | l / (s ha) | mm | l / (s ha) | mm | l / (s ha) | mm | l / (s ha) |
| 5 | | 6,8 | 226,7 | 8,3 | 276,7 | 9,3 | 310,0 | 10,6 | 353,3 | 12,4 | 413,3 | 14,2 | 473,3 | 15,5 | 516,7 | 17,1 | 570,0 | 19,4 | 646,7 |
| 10 | | 8,7 | 145,0 | 10,7 | 178,3 | 11,9 | 198,3 | 13,5 | 225,0 | 15,8 | 263,3 | 18,2 | 303,3 | 19,8 | 330,0 | 21,9 | 365,0 | 24,8 | 413,3 |
| 15 | | 9,9 | 110,0 | 12,1 | 134,4 | 13,5 | 150,0 | 15,4 | 171,1 | 18,0 | 200,0 | 20,7 | 230,0 | 22,5 | 250,0 | 24,9 | 276,7 | 28,2 | 313,3 |
| 20 | | 10,8 | 90,0 | 13,2 | 110,0 | 14,7 | 122,5 | 16,7 | 139,2 | 19,6 | 163,3 | 22,6 | 188,3 | 24,6 | 205,0 | 27,1 | 225,8 | 30,8 | 256,7 |
| 30 | | 12,1 | 67,2 | 14,9 | 82,8 | 16,6 | 92,2 | 18,8 | 104,4 | 22,1 | 122,8 | 25,4 | 141,1 | 27,6 | 153,3 | 30,5 | 169,4 | 34,6 | 192,2 |
| 45 | | 13,5 | 50,0 | 16,6 | 61,5 | 18,6 | 68,9 | 21,1 | 78,1 | 24,7 | 91,5 | 28,5 | 105,6 | 30,9 | 114,4 | 34,1 | 126,3 | 38,7 | 143,3 |
| 60 | 1 | 14,7 | 40,8 | 18,0 | 50,0 | 20,1 | 55,8 | 22,8 | 63,3 | 26,7 | 74,2 | 30,8 | 85,6 | 33,5 | 93,1 | 36,9 | 102,5 | 41,9 | 116,4 |
| 90 | 1,5 | 16,3 | 30,2 | 20,1 | 37,2 | 22,4 | 41,5 | 25,4 | 47,0 | 29,8 | 55,2 | 34,3 | 63,5 | 37,3 | 69,1 | 41,2 | 76,3 | 46,7 | 86,5 |
| 120 | 2 | 17,6 | 24,4 | 21,7 | 30,1 | 24,2 | 33,6 | 27,5 | 38,2 | 32,2 | 44,7 | 37,1 | 51,5 | 40,3 | 56,0 | 44,5 | 61,8 | 50,5 | 70,1 |
| 180 | 3 | 19,6 | 18,1 | 24,1 | 22,3 | 26,9 | 24,9 | 30,6 | 28,3 | 35,8 | 33,1 | 41,3 | 38,2 | 44,8 | 41,5 | 49,5 | 45,8 | 56,2 | 52,0 |
| 240 | 4 | 21,2 | 14,7 | 26,0 | 18,1 | 29,0 | 20,1 | 33,0 | 22,9 | 38,6 | 26,8 | 44,5 | 30,9 | 48,3 | 33,5 | 53,4 | 37,1 | 60,6 | 42,1 |
| 360 | 6 | 23,5 | 10,9 | 28,9 | 13,4 | 32,3 | 15,0 | 36,6 | 16,9 | 43,0 | 19,9 | 49,5 | 22,9 | 53,7 | 24,9 | 59,3 | 27,5 | 67,3 | 31,2 |
| 540 | 9 | 26,2 | 8,1 | 32,1 | 9,9 | 35,9 | 11,1 | 40,7 | 12,6 | 47,7 | 14,7 | 55,0 | 17,0 | 59,7 | 18,4 | 65,9 | 20,3 | 74,8 | 23,1 |
| 720 | 12 | 28,2 | 6,5 | 34,6 | 8,0 | 38,6 | 8,9 | 43,9 | 10,2 | 51,4 | 11,9 | 59,2 | 13,7 | 64,3 | 14,9 | 71,0 | 16,4 | 80,6 | 18,7 |
| 1080 | 18 | 31,3 | 4,8 | 38,5 | 5,9 | 42,9 | 6,6 | 48,8 | 7,5 | 57,1 | 8,8 | 65,8 | 10,2 | 71,5 | 11,0 | 78,9 | 12,2 | 89,5 | 13,8 |
| 1440 | 24 | 33,7 | 3,9 | 41,5 | 4,8 | 46,2 | 5,3 | 52,5 | 6,1 | 61,6 | 7,1 | 70,9 | 8,2 | 77,0 | 8,9 | 85,0 | 9,8 | 96,5 | 11,2 |
| 2880 | 48 | 40,4 | 2,3 | 49,6 | 2,9 | 55,3 | 3,2 | 62,8 | 3,6 | 73,7 | 4,3 | 84,8 | 4,9 | 92,1 | 5,3 | 101,7 | 5,9 | 115,4 | 6,7 |
| 4320 | 72 | 44,8 | 1,7 | 55,1 | 2,1 | 61,5 | 2,4 | 69,8 | 2,7 | 81,8 | 3,2 | 94,2 | 3,6 | 102,3 | 3,9 | 113,0 | 4,4 | 128,2 | 4,9 |
| 5760 | 96 | 48,3 | 1,4 | 59,4 | 1,7 | 66,2 | 1,9 | 75,2 | 2,2 | 88,1 | 2,5 | 101,5 | 2,9 | 110,2 | 3,2 | 121,7 | 3,5 | 138,1 | 4,0 |
| 7200 | 120 | 51,2 | 1,2 | 62,9 | 1,5 | 70,1 | 1,6 | 79,7 | 1,8 | 93,4 | 2,2 | 107,5 | 2,5 | 116,8 | 2,7 | 128,9 | 3,0 | 146,3 | 3,4 |
| 8640 | 144 | 53,6 | 1,0 | 65,9 | 1,3 | 73,5 | 1,4 | 83,5 | 1,6 | 97,9 | 1,9 | 112,7 | 2,2 | 122,4 | 2,4 | 135,1 | 2,6 | 153,4 | 3,0 |
| 10080 | 168 | 55,8 | 0,9 | 68,6 | 1,1 | 76,5 | 1,3 | 86,9 | 1,4 | 101,9 | 1,7 | 117,3 | 1,9 | 127,4 | 2,1 | 140,6 | 2,3 | 159,6 | 2,6 |

Starkniederschlagshöhen und -spenden gemäß KOSTRA-DWD-2020

Rasterfeld 91113

(Zeile 91, Spalte 113)

Örtliche Unsicherheiten in Abhängigkeit von Wiederkehrzeit T und Dauerstufe D

| Dauerstufe D | | Wiederkehrzeit T | | | | | | | | |
|--------------|-----|------------------|-----|-----|-----|------|------|------|------|-------|
| | | 1 a | 2 a | 3 a | 5 a | 10 a | 20 a | 30 a | 50 a | 100 a |
| min | Std | ± % | ± % | ± % | ± % | ± % | ± % | ± % | ± % | ± % |
| 5 | | 16 | 17 | 18 | 19 | 20 | 21 | 22 | 22 | 22 |
| 10 | | 18 | 20 | 21 | 22 | 23 | 24 | 25 | 25 | 26 |
| 15 | | 19 | 21 | 22 | 23 | 24 | 25 | 26 | 26 | 27 |
| 20 | | 19 | 21 | 22 | 23 | 24 | 26 | 26 | 27 | 27 |
| 30 | | 19 | 21 | 22 | 23 | 25 | 25 | 26 | 27 | 27 |
| 45 | | 18 | 20 | 21 | 23 | 24 | 25 | 26 | 26 | 27 |
| 60 | 1 | 17 | 20 | 21 | 22 | 23 | 24 | 25 | 25 | 26 |
| 90 | 1,5 | 16 | 18 | 20 | 21 | 22 | 23 | 24 | 24 | 25 |
| 120 | 2 | 15 | 18 | 19 | 20 | 21 | 22 | 23 | 23 | 24 |
| 180 | 3 | 14 | 17 | 18 | 19 | 20 | 21 | 21 | 22 | 23 |
| 240 | 4 | 14 | 16 | 17 | 18 | 19 | 20 | 21 | 21 | 22 |
| 360 | 6 | 14 | 15 | 16 | 17 | 18 | 19 | 20 | 20 | 21 |
| 540 | 9 | 14 | 15 | 16 | 16 | 17 | 18 | 19 | 19 | 20 |
| 720 | 12 | 14 | 15 | 16 | 16 | 17 | 18 | 18 | 19 | 19 |
| 1080 | 18 | 15 | 16 | 16 | 16 | 17 | 18 | 18 | 18 | 19 |
| 1440 | 24 | 16 | 16 | 17 | 17 | 17 | 18 | 18 | 18 | 19 |
| 2880 | 48 | 20 | 19 | 19 | 19 | 19 | 19 | 19 | 20 | 20 |
| 4320 | 72 | 22 | 21 | 21 | 21 | 21 | 21 | 21 | 21 | 21 |
| 5760 | 96 | 24 | 23 | 23 | 22 | 22 | 22 | 22 | 22 | 22 |
| 7200 | 120 | 25 | 24 | 24 | 23 | 23 | 23 | 23 | 23 | 23 |
| 8640 | 144 | 26 | 25 | 25 | 25 | 24 | 24 | 24 | 24 | 24 |
| 10080 | 168 | 27 | 26 | 26 | 25 | 25 | 25 | 25 | 25 | 25 |

Parameter für abweichende T und D

Lokationsparameter ξ (Xi)

14,85788582

Skalenparameter α (Alpha)

4,7242228

Formparameter κ (Kappa)

-0,1

1. Koutsoyiannis-Parameter θ (Theta)

0,01751458

2. Koutsoyiannis-Parameter η (Eta)

0,74151467

Parameter für dauerstufenübergreifende Extremwertschätzung nach KOUTSOYIANNIS et al. 1998.

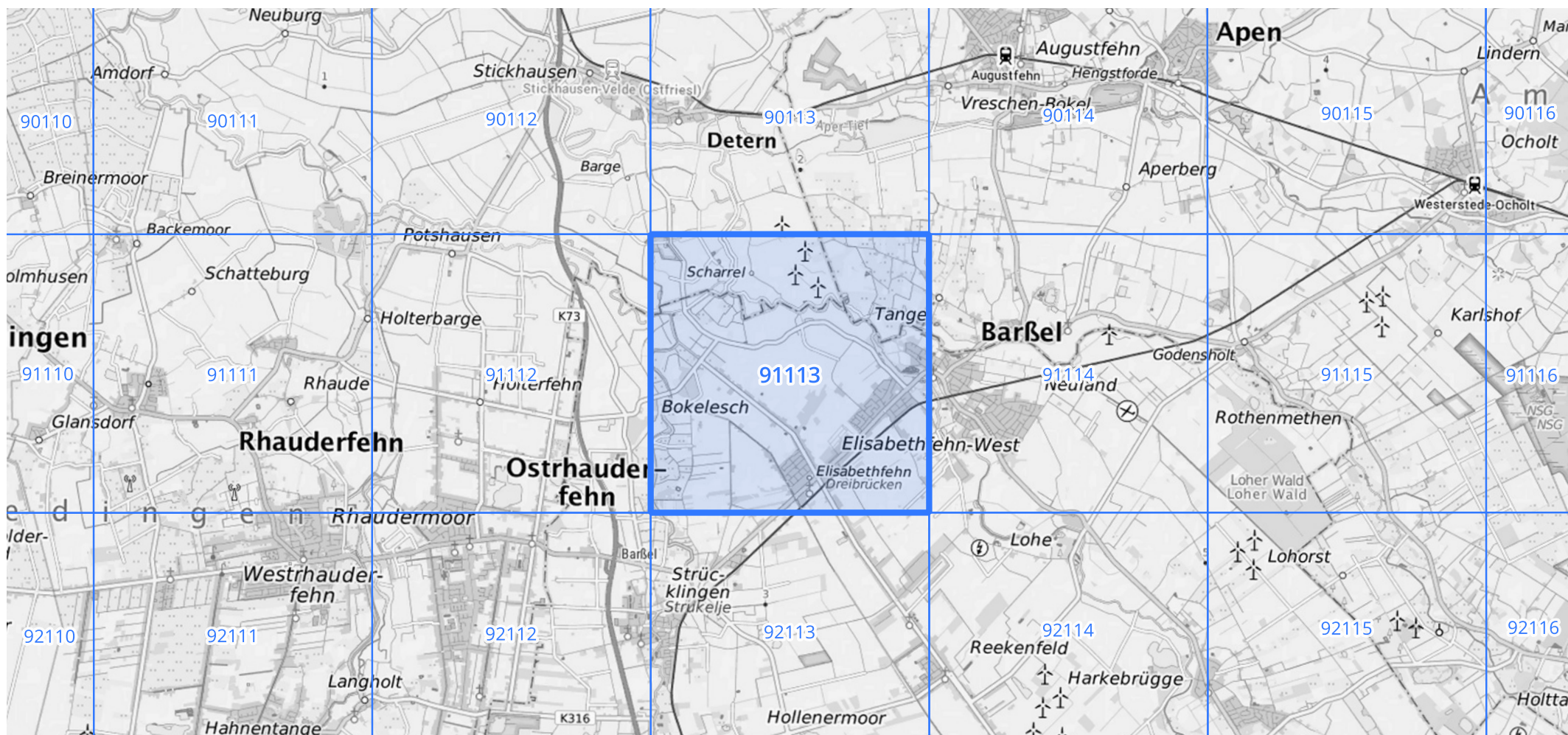
Siehe auch Anwendungshilfe zu KOSTRA-DWD-2020 des Deutschen Wetterdienstes.

Starkniederschlagshöhen und -spenden gemäß KOSTRA-DWD-2020

Rasterfeld 91113

(Zeile 91, Spalte 113)

Übersichtskarte des Rasterfeldes 91113, M 1 : 100 000



Quelle Rasterdaten: KOSTRA-DWD-2020 des Deutschen Wetterdienstes, Stand 12/2022.

Seite 3 von 3

Kartendarstellung: © Bundesamt für Kartographie und Geodäsie (2023), Datenquellen: https://sgx.geodatenzentrum.de/web_public/gdz/datenquellen/Datenquellen_TopPlusOpen.html

Für die Richtigkeit und Aktualität der Angaben wird keine Gewähr übernommen. Erstellt 01/2023.